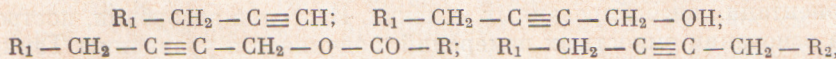


Член-корреспондент АН СССР А. С. САДЫКОВ, Ф. К. КУРБАНОВ,  
А. Н. ДЕНИСОВ, А. Б. КУЧКАРОВ

**К МЕХАНИЗМУ ВЛИЯНИЯ АЦЕТИЛЕНОВЫХ СОЕДИНЕНИЙ  
АНАБАЗИНА И ПИПЕРИДИНА НА КОРРОЗИЮ  
УГЛЕРОДИСТОЙ СТАЛИ В КИСЛОТАХ**

В последние десятилетия в качестве ингибиторов кислотной коррозии особым вниманием исследователей пользуются ацетиленовые соединения (1-4). Большинством авторов убедительно показано, что защитное действие ацетиленовых соединений (спиртов), содержащих концевой ацетиленовый водород, обусловлено полимеризацией за счет раскрытия тройной связи и образованием на поверхности металла защитной полимерной пленки (5, 6). Однако появляются работы (7), авторы которых объясняют защитный эффект ацетиленовых соединений скорее адсорбцией, чем образованием полимерной пленки. Из ацетиленовых соединений (спирты, углеводороды, эфиры, тиоэфиры) наибольшей эффективностью обладают вторичные спирты со строением алкин-1-ол-3, в силу сопряжения электронов атома кислорода с  $\pi$ ,  $\pi$ -электронами ацетиленовой связи (8). Учитывая повышенную адсорбционную способность аминов, нами были синтезированы вещества следующего строения:



где  $R_1$ ,  $R_2$  — пиперидил, анабазил;  $R$  — алкил, с числом атомов  $C$  1—16. Исследования влияния полученных соединений на коррозию проводили весовым и электрохимическим методами.

Из данных табл. 1 следует, что замещение иминного водорода на пропаргил приводит к снижению коррозии в 8—10 раз.

В общем случае исследованные соединения по защитному действию располагаются в порядке:  $N$ -пропин > аминоэфир > аминоспирт > > диамин в  $HCl$  и  $N$ -пропин > аминоэфир > диамин > аминоспирт в  $H_2SO_4$ .

Таблица 1

Влияние добавок на коррозию стали-10 в кислотах (продолжительность опыта 15 час.,  $t = 60^\circ C$ , концентрация добавки 0,01 г-мол/л)

Добавка	15% HCl		15% $H_2SO_4$	
	$\rho$ , г/м <sup>2</sup> ·сут	$\gamma^*$	$\rho$ , г/м <sup>2</sup> ·сут	$\gamma$
Анабазин	810	5,4	1100	1,2
$N'$ -пропинанабазин	104,6	42,5	96,8	13,65
$N$ -пропиниперидин	183,9	24,06	129,8	10,1
1-( $N'$ -анабазил)-бутил-2-ол-4	415,8	10,9	935,4	1,4
1-( $N$ -пиперидил)-бутил-2-ол-4	469,8	9,4	1007,7	1,3
1-ацетокси-4-( $N'$ -анабазил)-бутил-2			439	3,0
1-ацетокси-4-( $N$ -пиперидил)-бутил-2	245,7	18,1	522,3	2,5
1-( $N'$ -анабазил)-4-( $N$ -пиперидил)-бутил-2	560	7,9	801,2	1,65
1,4-( $N,N$ -дишпеперидил)-бутил-2	813,4	5,44	813,75	1,62
Контроль	4427		1321	

\*  $\gamma = \rho_0/\rho$ , где  $\rho$  — скорость коррозии в присутствии добавки,  $\rho_0$  — в отсутствие добавки.

Из поляризационных кривых, снятых на армко-железе потенциостатическим методом (рис. 1) видно, что все исследованные соединения являются ингибиторами смешанного типа, но в большей степени замедляют катодную реакцию, чем анодную. Прямолинейные тафелевские участки поляризационных кривых имеют коэффициенты  $b_k = 120-130$  мв и  $b_a = 60$  мв, как и без добавки, из чего следует, что их присутствие не влияет на механизм протекания электродных процессов.

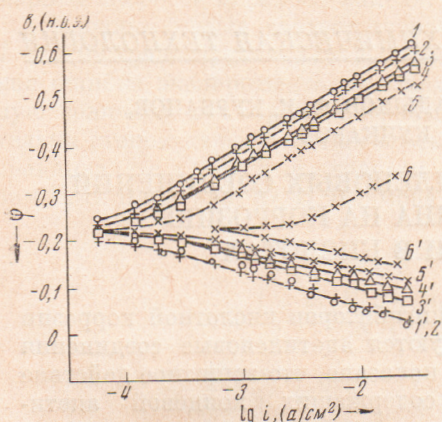


Рис. 1. Кривые катодной (1—6) и анодной (1'—6') поляризации армко-железа в 4 N растворе HCl ( $t = 25^\circ\text{C}$ , концентрация добавки 0,01 мол / л. 1, 1' — N-пропиниперидин; 2, 2' — N'-пропинанабазин; 3, 3' — 1-(N-пиперидил)-бутил-2-ол-4; 4, 4' — 1-(N'-анабазил)-4-(N-пиперидил)-бутил-2; 5, 5' — 1,4-(N,N-дипиперидил)-бутил-2; 6, 6' — контроль

переориентация адсорбированных молекул, на основании емкостных измерений, подчиняется уравнению Темкина (рис. 3). Характер зависимости коэффициента торможения  $\gamma$  от логарифма концентрации  $\lg C$  добавки тоже свидетельствует, что начиная с концентрации  $\approx 0,02$  мол/л наступает предельная адсорбция.

Исходя из характера кривых поляризации, емкости, изотермы адсорбции и значения рассчитанной эффективной энергии активации можно утверждать, что данные соединения адсорбируются специфически. Результаты весовых и электрохимических измерений показывают, что из исследованных соединений самые эффективные те, у которых имеется концевая тройная связь. По-видимому, неконцевая тройная связь не играет решающей роли в защитном эффекте соединения. Об этом свидетельствует то, что защитный эффект синтезированных нами 1,4-(N, N-дипиперидил)-бутина-2 и 1, 4-(N, N-дипиперидил)-бутил-2 практически одинаков.

Были исследованы превращения N-пропиниперидина и 1-(N-пиперидил)-бутил-2-ола-4 по методике, описанной в <sup>(6)</sup>, при атмосферном давлении. Выделенная смелообразная темно-коричневая масса имела в своем составе C, H, N, Cl и Fe. И.к. спектры продуктов превращения обоих исследованных веществ идентичны.

В спектрах продуктов превращения отсутствуют полосы поглощения в области 3300, 2100, 2220  $\text{cm}^{-1}$ , характерные для ацетиленовой, в области 1645—1620  $\text{cm}^{-1}$  — для этиленовой связей. Появляются новые полосы поглощения 2960, 2880, 1460, 1380  $\text{cm}^{-1}$ , которые относятся к предельным углеводородам. В области 2900—2300  $\text{cm}^{-1}$  широкая сильная полоса поглощения свидетельствует о наличии третичной аммониевой соли  $\text{NH}_3^+\text{Cl}^-$ . В области 3400  $\text{cm}^{-1}$  широкая средняя полоса, характерная для ассоциированной группы OH, очевидно, в виде адсорбированной воды или  $\text{FeOH}$ .

\* В обсуждении работы принимал участие Н. И. Подобаев.

Из данных анализа и и.-к. спектра можно заключить, что выделенные продукты превращения добавок представляют собой в основном комплексы  $\text{Fe}^{2+}$ ,  $\text{Fe}^{3+}$  с гидрохлоридом N-алкилпиреридина  $[\text{Fe}(\text{C}_5\text{H}_{10}\text{N}-\text{R}-\text{HCl})_6]\text{Cl}_n$ , где R-алкил  $\text{C}_3-\text{C}_4$ ,  $n=2-3$ . При этом непредельная связь гидрируется до полного насыщения. Образование полимера, судя по легкости разрушения комплекса при подщелачивании и анализу

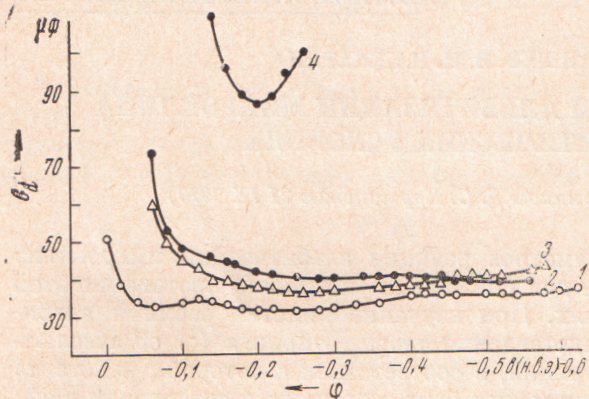


Рис. 2

Рис. 2. Кривые дифференциальной емкости на армо-железе в 4 N растворе HCl в присутствии добавок (условия как на рис. 1). 1 — N-пропинпиперидин; 2 — 1,4-(N,N-дипиперидил)-бутин-2; 3 — 1-(N-пиперидил)-бутин-2-ол-4; 4 — контроль

Рис. 3. Зависимость степени покрытия  $\theta = (C_0 - C) / (C_0 - C')$  от концентрации N-пропинпиперидина в 4 N растворе HCl ( $\phi = -0,25$  в,  $t = 25^\circ\text{C}$ )

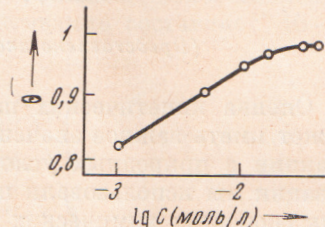


Рис. 3

органической части, входящей в комплекс, места не имеет. Полосы валентных колебаний  $\text{Me}-\text{N}$  ( $\text{Me}$  — металл) лежат в области менее  $500 \text{ cm}^{-1}$  ( $^{\circ}$ ); в и.-к. спектре продуктов превращения в области  $460$  и  $400 \text{ cm}^{-1}$  появляются полосы поглощения; не исключено, что их можно отнести к валентным колебаниям  $\text{Fe}-\text{N}$ .

Таким образом, в случае соединений типа N-пропин в первичном акте защиты участвует тройная связь, которая в дальнейшем гидрируется, а защита осуществляется за счет хемосорбированных продуктов взаимодействия добавки с ионами железа и коррозионной средой, происходящего на поверхности металла, а не в объеме.

Ташкентский политехнический  
институт

Поступило  
25 V 1971

#### ЦИТИРОВАННАЯ ЛИТЕРАТУРА

- <sup>1</sup> G. L. Foster, B. D. Oakes, C. H. Kusaga, Industr. and Eng. Chem., **51**, № 7, 825 (1959). <sup>2</sup> T. Baba, T. Yoshino, J. Chem. Soc. Japan. Ind. Chem. Soc., **63**, № 8, 1377 (1960). <sup>3</sup> D. Morris, W. E. Billings, Corrosion, **17**, № 5, 208 (1961).
- <sup>4</sup> Н. И. Подобаев, С. А. Балезин и др., Авт. свид. СССР № 179406, Изобрет. промышл. образцы, товарные знаки, № 5, 49 (1966). <sup>5</sup> И. Н. Путилова, А. М. Лопушиц и др., Защита металлов, **4**, № 4 (1968). <sup>6</sup> Н. И. Подобаев, В. И. Котов, ЖПХ, **42**, № 7, 1569 (1969). <sup>7</sup> T. Kato, H. Sakai, T. Murakawa, Corros. Engng. **18**, № 7, 307 (1969). <sup>8</sup> С. А. Балезин, Н. И. Подобаев и др., Тр. III Международн. конгресса коррозии металлов, 1966, **2**, М., 1968, стр. 7. <sup>9</sup> К. Накамото, Инфракрасные спектры неорганических и координационных соединений, М., 1966.